SPE MP 2025-2026

## **DM SCIENCES PHYSIQUES N°4**

# PROBLÈME 1: Le manchot empereur (obligatoire)

Source: Gilbert C. *et al.*, Energy saving processes in huddling emperor penguins: from experiments to theory, *Journal of Experimental Biology*, vol. 211, 2008, p. 1-8.

Le manchot empereur *Aptenodytes forsteri* est la plus grande espèce de manchots, avec en moyenne une taille de 1,2 m et une masse corporelle de 30 kg. Ce manchot est capable d'affronter sur de longues durées les conditions climatiques extrêmes de l'Antarctique, caractérisées par des températures moyennes de

- 40 °C lors des longues nuits polaires du mois de juin et des températures ressenties atteignant les
- 200 °C lorsque le blizzard souffle au plus fort. Le secret de cette exceptionnelle capacité d'isolation thermique réside dans toute une série d'adaptations, en particulier physiologiques et comportementales.

Du point de vue des échanges thermiques, on modélise un manchot par un cylindre d'axe  $(O, \vec{u}_z)$ , de rayon R = 10 cm, de longueur l = 1,2m, recouvert successivement :

- d'une couche de graisse d'épaisseur  $e_g = 2.0 \, cm$  et de conductivité thermique  $\lambda_g = 0.20 \, W.m^{-1}.K^{-1}$  ;
- d'une couche de filaments duveteux enfermant une épaisseur  $e_a = 1 cm$  d'air de conductivité thermique  $\lambda_a = 0.026 W.m^{-1}.K^{-1}$ ;
- d'une couche très dense de plumes courtes et raides, disposées en diagonale et imbriquées les unes dans les autres pour former un véritable « coupe-vent » imperméable à l'eau, d'épaisseur  $e_p = 2.0 \, cm$  et de conductivité thermique  $\lambda_p = 0.035 \, W.m^{-1}$ .  $K^{-1}$ .

En régime stationnaire, le métabolisme de l'animal fournit une puissance  $P_m$  permettant de maintenir sa température interne  $T_i$  constante.

#### I- Généralités

On considère deux cylindres de même axe  $(O, \vec{u}_z)$ , de longueur l et de rayons  $R_1 et R_2$ , de surfaces latérales isothermes portées aux températures respectives  $T_1 et T_2$  (figure 1).

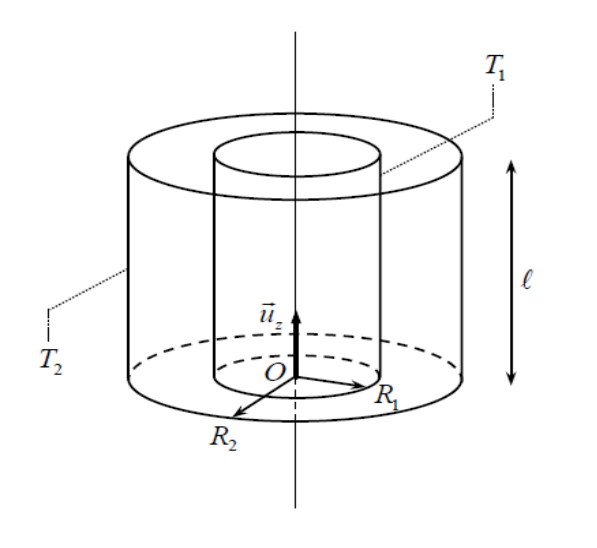


Figure 1

Le milieu séparant ces deux surfaces, homogène, isotrope, de conductivité thermique  $\lambda$ , est le siège d'un phénomène de transfert thermique uniquement radial en négligeant tout effet de bord. On suppose le régime stationnaire atteint. En tout point M du milieu, repéré par ses coordonnées cylindriques dans le repère  $(O; \vec{u}_{\rho}, \vec{u}_{\theta}, \vec{u}_{z})$ , la température y est donc fonction uniquement de la distance  $\rho$  à l'axe  $(O; \vec{u}_{z})$ .

- 1- Le vecteur associé au flux thermique  $\Phi_{th}$  est le vecteur densité de courant thermique  $\vec{j}_{th}$ . Que représente physiquement la norme de ce vecteur ? Préciser son unité.
- **2-** Justifier que  $\vec{j}_{th} = -\lambda \frac{dT}{d\rho} \vec{u}_{\rho}$ . Justifier physiquement le signe moins.
- 3- Effectuer en régime stationnaire un bilan thermique, entre les instants t et t+dt, pour la portion du milieu comprise entre les cylindres d'axe  $(O, \vec{u}_z)$ , de longueur l, de rayons  $\rho$  et  $\rho$ +d $\rho$   $(R_1 < \rho < R_2)$ . En déduire que l'expression du champ de température  $T(\rho)$  en tout point M du milieu  $T(\rho)$   $T_1 = T_2$   $T_2 = T_2$   $T_3 = T_3$

est: 
$$T(\rho) = \frac{T_1 - T_2}{\ln(\frac{R_1}{R_2})} \ln(\frac{\rho}{R_1}) + T_1$$
.

4- Définir la résistance thermique  $R_{th}$  du milieu et déterminer son expression .

## II - Détermination du métabolisme d'un manchot

- **5-** Retrouver l'ordre de grandeur de la valeur adoptée du rayon *R* du cylindre modélisant un manchot supposé uniquement constitué d'eau.
- **6-** En régime stationnaire, justifier que le flux thermique  $\Phi_{th}$  dégagé par un manchot est égal à la puissance  $P_m$  due à son métabolisme.
- 7- Comment sont associées les résistances thermiques de chacune des couches recouvrant un manchot ? Justifier. À partir du résultat de 4, donner l'expression de la résistance thermique  $R_{thl}$  équivalente à cette association en fonction notamment des conductivités thermiques et des épaisseurs des différentes couches. Calculer la valeur de  $R_{thl}$ .
- **8-** Les transferts thermiques entre la face extérieure du plumage du manchot à la température  $T_p$  et l'air extérieur à la température  $T_e$  sont modélisés par la loi de Newton . On note h le coefficient de transfert conducto-convectif. Exprimer le flux thermique sortant par conducto-convection de la surface latérale d'aire S du manchot . En se limitant à la surface latérale du cylindre d'aire S modélisant le manchot, exprimer en fonction de h et S la résistance thermique ,  $R_{thcc}$  associée à ce transfert.
- 9- En considérant que le manchot et l'atmosphère rayonnent comme des corps noirs de températures respectives  $T_p$  et  $T_e$  très proches, on admet que le flux radiatif surfacique (flux surfacique sortant par rayonnement par la surface extérieure du manchot)  $\phi_r$  émis par le manchot, s'écrit :

 $\phi_r \approx 4 \sigma T_e^3 (T_p - T_e)$  où  $\sigma$  est la constante de Stefan.

Exprimer, en fonction de  $\sigma$ ,  $T_e$  et S la résistance thermique  $R_r$  associée à ce transfert si on se limite ici aussi à la surface latérale du cylindre modélisant le manchot.

- 10- Comment sont associées les résistances thermiques correspondant aux transferts conducto-convectifs et radiatifs? Justifier. Donner l'expression de la résistance thermique  $R_{th2}$  équivalente à cette association en fonction de  $\sigma$ ,  $T_e$ , het S. Calculer la valeur de  $R_{th2}$  lorsque le manchot se trouve dans un environnement à la température  $T_e = -17 \, ^{\circ} C$  en présence d'un vent de vitesse  $V = 5,0 \, m.s^{-1}$ . On admettra que le coefficient de transfert conducto-convectif s'écrit :  $h = 5,7+3,5 \, V$  où V est exprimé en  $m.s^{-1}$  et h en  $W.m^{-1}.K^{-1}$ .
- 11- Donner l'expression en la justifiant de la résistance thermique totale  $R_{thtot}$  du manchot en fonction de  $R_{thl}$  et  $R_{thl}$ . En déduire la valeur de la puissance  $P_m$  due au métabolisme nécessaire à un manchot pour maintenir une température inter  $T_i = 37,7\,^{\circ}C$  dans un environnement à la température  $T_e = -17\,^{\circ}C$  et en présence d'un vent de vitesse  $V = 5,0\, m.s^{-1}$ . Vérifier que la puissance  $P_m$  est de l'ordre de 50 W.

En plus de ses exceptionnelles capacités d'isolation thermique, le manchot empereur a développé une ultime stratégie pour réduire ses déperditions de chaleur : la thermorégulation sociale consistant à s'assembler en très grands groupes compacts de plusieurs centaines d'individus. Des travaux de recherche menés en 2007 par l'équipe française de Caroline Gilbert ont évalué expérimentalement les bénéfices de ce comportement. Ils ont pour cela mesuré la puissance  $P_m$  due au métabolisme sur trois groupes de manchots, à partir de leur perte de poids en fonction du temps. Les premiers étaient seuls, isolés dans des enclos. Les seconds étaient parqués dans des enclos par petits groupes de 5 à 10 individus. Les troisièmes étaient libres de se déplacer et pouvaient s'assembler en très grands groupes. Les trois populations étaient soumises aux mêmes conditions d'environnement : température extérieure moyenne de  $-17\,^{\circ}\text{C}$  et un vent moyen de  $-17\,^{\circ}$ 

	Isolé	Petits groupes	Grands groupes
$\mathcal{P}_m$ (W)	85	52	43

12- À la lumière des résultats de l'équipe de recherche de Caroline Gilbert, discuter la modélisation effectuée dans cette partie. Expliquer brièvement pourquoi les grands rassemblements de manchots réduisent la puissance due à leur métabolisme.

### **Problème 2 :** (facultatif correction fournie à la demande )

Bon nombre de problèmes rencontrés en physique peuvent être résolus à l'aide de « fonctions spéciales » Ces fonctions définies mathématiquement sont implémentées dans de nombreuses bibliothèques informatiques (comme scipy) et peuvent être utilisées aussi simplement qu'une fonction sinus ou racine carrée qui sont elles aussi d'une certaine manière des fonctions spéciales et tout aussi analytiques . . . On rencontre bien souvent des résolutions numériques de problèmes physiques alors que l'utilisation de ces fonctions spéciales permet une résolution complète et analytique. Ce problème se propose d'illustrer l'intérêt de ces « fonctions spéciales »

## La fonction d'erreur de Gauss : erf()

## A- Introduction au problème de Stefan

Un certain nombre de problèmes géologiques importants peuvent être modélisés par le chauffage ou le refroidissement instantané d'un demi-espace semi-infini. Au milieu du XIXème siècle Lord Kelvin a ainsi utilisé cette idée pour estimer l'âge de la Terre. Il supposa qu'à la surface le flux d'énergie thermique résultait du refroidissement d'un flux initialement chaud de la Terre et a conclu que l'âge de la Terre était environ 65 millions d'années. On retrouve ces phénomènes en étudiant le refroidissement de la lithosphère océanique ou l'évolution d'une coulée de magma.

1- Comment explique-t-on de nos jours le résultat erroné obtenu par Lord Kelvin?

On étudie un milieu matériel semi-infini défini par y>0 dont la surface subit un changement instantané de température. Initialement à t=0, le demi-espace est à la température uniforme  $T_1$ ; pour t>0, la surface y=0 est maintenue à une température constante  $T_0$ . Si  $T_1>T_0$ , le milieu matériel se refroidit et sa température diminue. La situation est représentée à la figure 5 pour le cas  $T_1>T_0$ .

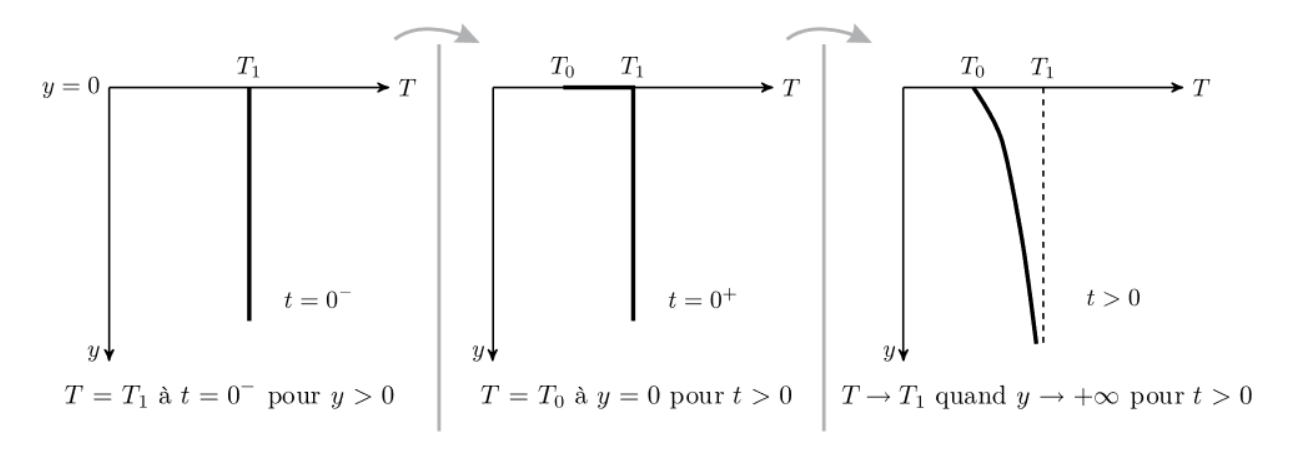


FIGURE 5 – Évolution de la température

Le flux thermique élémentaire, défini comme la quantité d'énergie traversant une surface élémentaire dS pendant dt, est noté  $\delta\Phi_O$ .

2- Rappeler la définition du vecteur  $\vec{j}_Q$ , densité de flux thermique. Quelle est sa dimension? Rappeler la loi de Fourier, ainsi que ses conditions d'application. En déduire la dimension de la conductivité thermique  $\kappa$ .

On étudie une tranche mésoscopique de sol de masse m de masse volumique  $\rho$  et de capacité thermique massique c comprise entre y et y + dy de surface S.

3- Quelle est l'énergie thermique  $\delta Q$  reçue par cette tranche entre t et t + dt ? Pourquoi étudie-t-on une tranche « mésoscopique » ?

Établir l'expression de sa variation d'énergie interne dU en fonction de  $\frac{\partial j_Q}{\partial y}$ , S, dy et dt puis en fonction de  $\rho$ , c, S,  $\frac{\partial T}{\partial t}$ , dy et dt.

En déduire l'équation de la chaleur à une dimension  $\frac{\partial T}{\partial t} = D \frac{\partial^2 T}{\partial y^2}$  dans laquelle on précisera l'expression et la dimension du coefficient D de diffusion thermique. En déduire l'expression d'une longueur caractéristique L en fonction de D et du temps t.

On introduit la température adimensionnée :  $\theta(y,t) = \frac{T(y,t) - T_1}{T_0 - T_1}$ .

4- Quelle est l'équation vérifiée par  $\theta(y,t)$  ? Déterminer les valeurs de  $\theta(y>0,t=0)$ ,  $\theta(y=0,t>0)$  et  $\theta(y\to\infty,t>0)$ .

On introduit une variable de similarité sans dimension  $\eta = \frac{y}{2\sqrt{Dt}}$  et on suppose que  $\theta$  n'est une fonction que de cette variable  $\eta$ .

5- Montrer que  $\frac{d^2\theta(\eta)}{d\eta^2} + 2\eta \frac{d\theta(\eta)}{d\eta} = 0$ 6- En utilisant la fonction  $\phi(\eta) = \frac{d\theta(\eta)}{d\eta}$ , montrer que  $\theta(\eta) = 1 - \frac{2}{\sqrt{\pi}} \int_0^{\eta} e^{-z^2} dz$ .

On donne  $\int_{0}^{\infty} e^{-z^2} dz = \frac{\sqrt{\pi}}{2}$ . En déduire une expression de T (y,t) faisant apparaître une intégrale.

La fonction  $\chi \to \frac{2}{\sqrt{\pi}} \int_{0}^{\chi} e^{-z^{2}} dz$  est appelée fonction d'erreur de Gauss, elle est implémentée dans scipy.

Elle est souvent notée  $\ erf(\chi)$  . On peut l'appeler directement en utilisant la commande : from scipy.special import erf.

#### B- Formation d'une croûte de lave solide.

Dans cette dernière partie on s'intéresse à une coulée de lave en fusion et à la formation d'une croûte solide à sa surface. On étudie alors l'augmentation de l'épaisseur de cette croûte en fonction du temps.

À la surface extérieure, en y=0, la lave est en contact avec l'air à la température constante  $T_0$ . La lave en fusion à la température  $T_f$  est donc soudainement portée à la température  $T_0$  à t=0. Dans ces conditions, la couche superficielle de la lave se solidifie, et on note  $y_S(t)$  l'épaisseur de la couche de lave solide.

Nous devons donc résoudre l'équation de la chaleur dans l'espace  $0 \le y \le y_S(t)$  avec comme conditions aux limites  $T = T_0$  en y = 0, et  $T = T_f$  en  $y = y_S(t)$ , et comme condition initiale  $y_S = 0$  à t = 0.

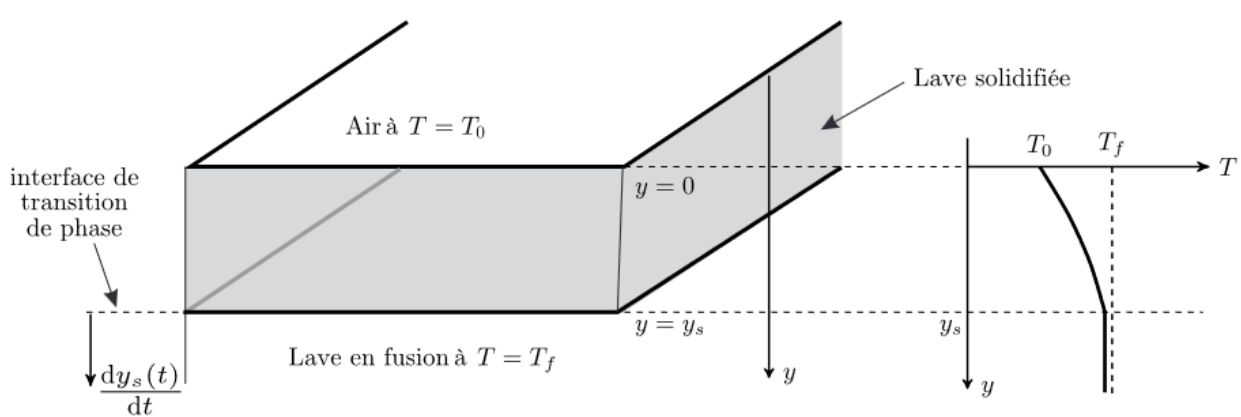


FIGURE 6 – Formation d'une croûte de lave solide

La position  $y_s(t)$  de l'interface de transition de phase est une fonction a priori inconnue du temps. Comme dans la situation précédente il n'y a pas d'échelle de longueur définie dans ce problème. Pour cette raison, on travaillera également avec la variable de similarité sans dimension  $\eta = \frac{y}{2\sqrt{Dt}}$ .

On utilisera également la température a dimensionnée  $\theta(y,t) = \frac{T(y,t) - T_0}{T_f - T_0}$ 

La profondeur de l'interface de solidification  $y_s(t)$  doit enfin s'adapter à la longueur caractéristique de la diffusion thermique. Nous supposerons que celle-ci varie proportionnellement à la racine carrée du temps, de telle sorte que :  $\eta_s = \frac{y_s(t)}{2\sqrt{Dt}} = cte = \lambda$  Cette constante est inconnue et reste à déterminer.

7- En reprenant l'équation de la question 5, montrer que  $\theta(\eta) = \frac{erf(\eta)}{erf(\lambda)}$ .

Afin d'obtenir l'expression puis la valeur de la constante  $\lambda$ , nous allons étudier la solidification d'une tranche de lave d'épaisseur  $dy_s$  entre les instants t et t + dt.

8- Quelle est l'énergie  $\delta Q$  libérée par la solidification à la température  $T_f$  d'une tranche  $dy_S$  de lave de surface S en fonction de la masse volumique  $\rho$  de la lave en fusion et l'enthalpie de fusion massique :  $\Delta h_{sol \rightarrow liq}$ 

9- Toute l'énergie libérée par la solidification doit être évacuée par diffusion dans la lave solide car la lave en fusion reste à la température  $T_f$ . Montrer que :  $\rho \Delta h_{sol \rightarrow liq}(T_f) \frac{dy_s(t)}{dt} = \kappa (\frac{\partial T}{\partial y})_{y=y_s}$ .

$$\mbox{10- En d\'eduire que } \ \, \frac{\exp\left(-\lambda^{\,2}\right)}{\lambda \, erf\left(\lambda\right)} = \frac{\sqrt{\pi}}{c\left(T_{\,f} - T_{\,0}\right)} \Delta \, h_{sol \, \rightarrow liq}\!\left(T_{\,f}\right) \ \, .$$

11- Quel algorithme peut on utiliser pour obtenir la constante  $\lambda$  numériquement ? Expliquer en quelques mots son fonctionnement.

On donne les valeurs numériques suivantes :

$$\Delta h_{sol \to liq}(T_f) = 400 \text{ kJ.kg}^{-1}$$
  $\rho = 2600 \text{ kg.m}^{-3}$   $c = 1 \text{ kJ.kg}^{-1} . K^{-1}$   $D = 7.10^{-7} \text{ SI}$   $T_f - T_0 = 1000 \text{ K}$ 

12- À l'aide de la figure 7, estimer la valeur numérique de  $\lambda$ . En déduire l'épaisseur de la croûte de lave six mois après l'éruption. Comparer votre résultat à ceux de la figure 8 tirés d'une expérience  $^1$ .

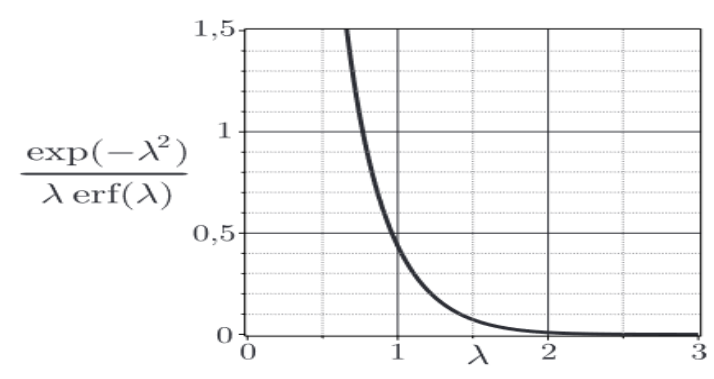


FIGURE 7 – Graphe de  $\lambda \mapsto \frac{\exp(-\lambda^2)}{\lambda \operatorname{erf}(\lambda)}$ 

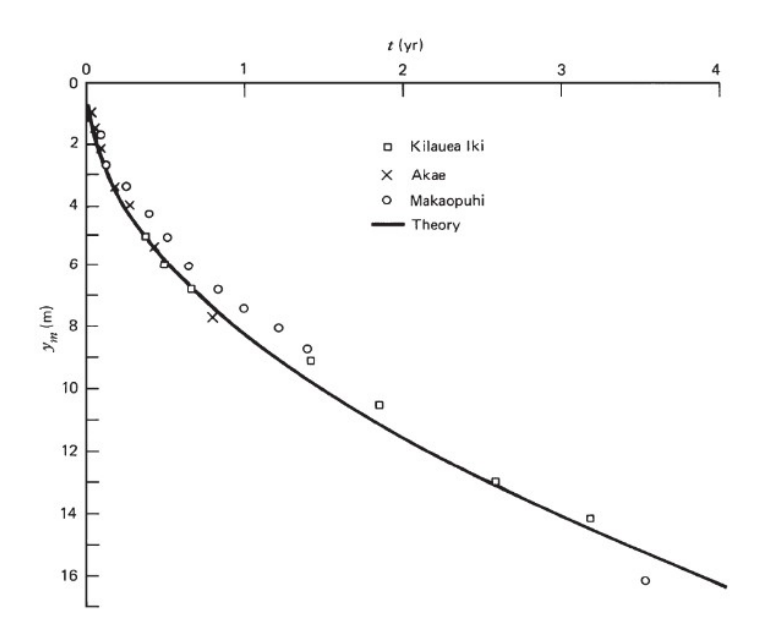


FIGURE 8 – Épaisseurs des croûtes de lave solides à la surface des lacs de lave dans les trois cratères à fosse Kilauea lki (1959), Alae (1963) et Makaopuhi (1965) sur le volcan Kilauea, Hawaii (Wright et al., 1976), et résultat théorique.

1- Wright, T. L., Peck, D. L., and Shaw, H. R. (1976). Kilauea lava lakes: Natural laboratories for study of cooling, crystallization, and differentiation of basaltic magma. In The Geophysics of the Pacific Ocean Basin and its Margin, eds. G. H. Sutton, M. H. Manghnani, R. Moberly, and E. U. McAfee, vol. 19 of Geophysical Monograph Series, Washington, D.C.: American Geophysical Union, pp. 375–90

<u>Donnée:</u>ne figure pas dans le sujet, à savoir faire pour le concours : changement de variable dans une EDP.

Soit une fonction F(x,t) de classe  $C^2$ .

Soit une fonction u(x,t) telle que F(x,t)=G(u) alors :  $\frac{\partial F}{\partial x}=\frac{dG}{du}\frac{\partial u}{\partial x}$  de même  $\frac{\partial F}{\partial t}=\frac{dG}{du}\frac{\partial u}{\partial t}$ Pour le calcul de la dérivée seconde par rapport à x par exemple , on procède de la même façon :

$$\frac{\partial^2 F}{\partial x^2} = \frac{d\left(\frac{\partial F}{\partial x}\right)}{du} \frac{\partial u}{\partial x}$$

En physique, pour ne pas multiplier les notations, on note très souvent F(x,t)=F(u) alors  $\frac{\partial F}{\partial x}=\frac{dF}{du}\frac{\partial u}{\partial x}$